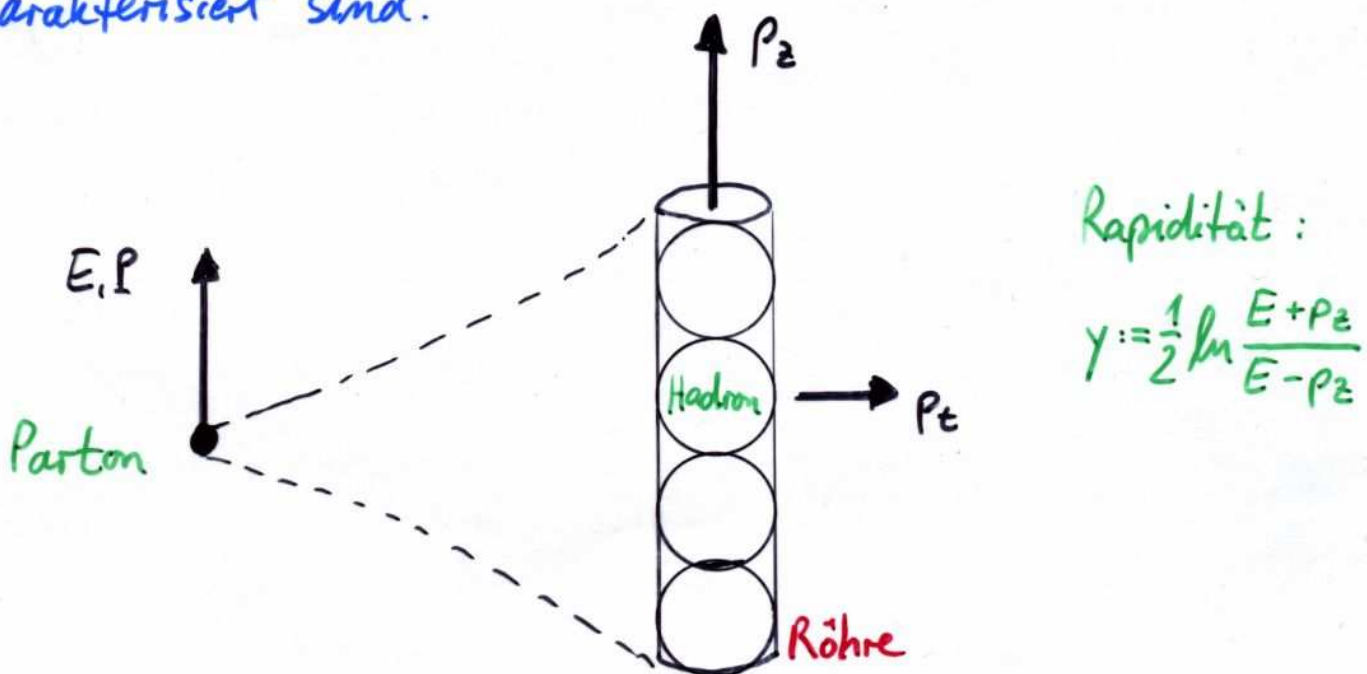


Phänomenologie der Hadronisierung

Phänomenolog. Hadronisierungsmodelle in Form von umfangreichen Computerprogrammen sind zu komplex, um einfach Aussagen über die Konsequenzen bzw. Auswirkungen der Hadronisierung auf Meßgrößen, die für QCD-Studien relevant sind, gewinnen zu können. Solch qualitative Aussagen über Hadronisierungseffekte kann man mit dem longitudinalen Phasenraum bzw. Röhren-Modell (engl.: tube model) sehr einfach gewinnen. In diesem Modell erzeugt jedes Parton einen Jet aus leichten Hadronen, welche durch Rapidity y und transversalem Impuls p_t charakterisiert sind.



Hadronisierung im Röhren-Modell

Jedes Hadron in der Röhre beansprucht Platz in der (y, p_t) -Ebene. Der Transversalimpuls stammt aus der Hadronisierung, ist also mit der Hadronisierungsskala λ verknüpft:

$$\lambda = \int d^2 p_t \cdot g(p_t) \cdot p_t$$

wobei $g(p_t)$ die Hadronendichte in der Röhre ist.

Die Wahl der Größe Rapidity

$$y := \frac{1}{2} \ln \frac{E + p_z}{E - p_z} \approx \frac{1}{2} \ln \frac{E + p}{E - p}$$

hat den Vorteil, dass:

$$\cosh y = \frac{E_{\text{Hadron}}}{m_{\text{Hadron}}}$$

$$\sinh y = \frac{p_{t\text{Hadron}}}{m_{\text{Hadron}}}$$

Damit können Energie E und Impuls p einer Röhre der Rapidityslänge Y berechnet werden (für $m_{\text{Hadron}} \approx \lambda$):

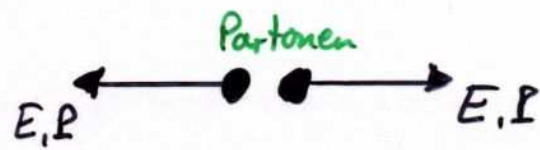
$$E = \int_0^Y dy \lambda \cdot \cosh y = \lambda \cdot \sinh Y$$

$$p = \int_0^Y dy \lambda \cdot \sinh y = \lambda (\cosh Y - 1)$$

Für große $Y \gg 1$ gilt dann: $p \approx E - \lambda$

Hadronisierungseffekt im Röhren-Modell

Betrachte 2-Jetkonfiguration



mit Gesamtenergie Q , d.h. jedes (masselose) Parton hat die Energie $E = \frac{1}{2}Q$, also

$$x_{\text{Parton}} = \frac{E}{\frac{1}{2}Q} = 1$$

Für die Hadronen in der Röhre ergibt sich jedoch:

$$x_{\text{tube}} = \frac{P}{\frac{1}{2}Q} \approx \frac{2(E-\lambda)}{Q}$$

Damit folgt für z.B. die TopologiemetgröÙe Thrust:

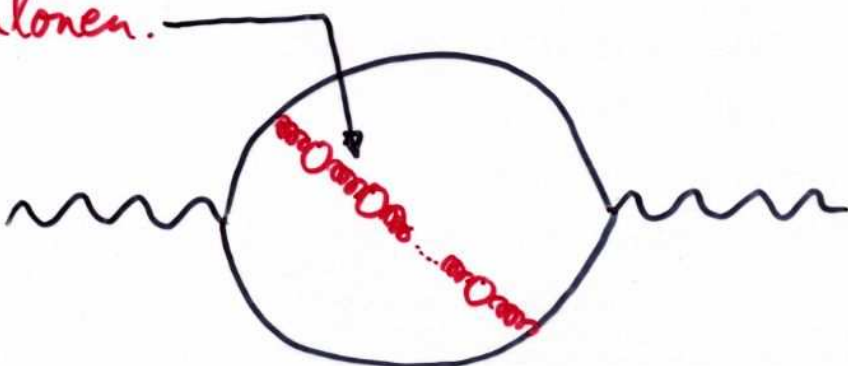
$$T := \max(x_q, x_{\bar{q}}, x_b)$$

- $T_{\text{Parton}} = \max(x_{\text{Parton}}) = 1$
- $T_{\text{Hadron}} = \max(x_{\text{tube}}) \approx 1 - \frac{2\lambda}{Q}$

Solche Korrekturen von Typ $\frac{1}{Q}, \frac{1}{Q^2}, \dots$ sind typisch für Hadronisierungseffekte. Sie werden allgemein als Energiepotenzkorrekturen (engl.: power corrections) bezeichnet.

Formalisierung der Energiepotenzkorrekturen

Energiepotenzkorrekturen sind nicht perturbativ berechenbar, trotzdem können quantitative Aussagen über die Struktur dieser Korrekturen gemacht werden. Ein sehr theoretischer Ansatz ist das Konzept der infraroten Renormalonen.



Formal wird dabei die divergente Potenzreihe in ds für das Renormalon (Gluon mit unendlich vielen Quarkschleifen) durch Konvergenz erzeugende Faktoren in eine konvergierende Reihe umgewandelt. Aus dieser Reihe kann die ursprüngliche Reihe bis auf Ambiguitäten zurückgewonnen werden. Das Verfahren basiert auf der sog. Borel-Summation. Es liefert die Struktur der nicht-perturbativen (NP) Korrekturen:

$$\frac{d\sigma^{NP}}{\sigma} \sim \frac{\ln^q Q}{Q^p}$$

i.d.h. die Potenzen p und q können damit berechnet werden sowie i.A. auch die Proportionalitätskonstante.

Formalisierung der Potenzkorrektur

Ein phänomenolog. motivierter Ansatz nutzt Momente der starken Kopplungskonst. im Bereich kleiner Energieskalen

$$\alpha_{p-1}(\mu_I) := \frac{\rho}{\mu_I^p} \int_0^{\mu_I} dk_L \alpha_s(k_L^2) \cdot k_L^{p-1}$$

(z.B. $\mu_I = 2 \text{ GeV}$), worin sich die Idee verbirgt, dass die physikalische Kopplung für observable Größen frei von Polen (insbesondere: Landau-Pol bei 1 in $\alpha_s(Q^2) = 1/\beta_0 \ln Q^2/\Lambda^2$) sein mößt. Mit diesem Verfahren findet man quantitative Aussagen für Mittelwerte von Topologie maßgrößen, z.B.

$$\langle 1-T \rangle = A_T \cdot \frac{\alpha_s}{2\pi} + O(\alpha_s^2) + a_{1-T} \cdot P$$

mit $a_{1-T} = 2$

$$P = \frac{4 C_F \Lambda}{\pi^2} \cdot \frac{\mu_I}{Q} \cdot \left\{ \alpha_0(\mu_I) - \alpha_s(\mu_R^2) \dots \right\}$$

und für differentialle Verteilungen

$$\frac{d\sigma(\hat{s})}{dF} = \frac{d\sigma^{PT}(\hat{s} - a_F \cdot P)}{dF}$$

(d.h. eine einfache Verschiebung der perturbativen (PT) Verteilung um $a_F \cdot P$)

Beide Vorhersagen (Mittelwerte u. Verteilungen) führen zu guten Beschreibungen experimenteller Daten (α_0 und α_s müssen angepaßt werden)

Energiepotenzkorrekturen f. Mittelwerte

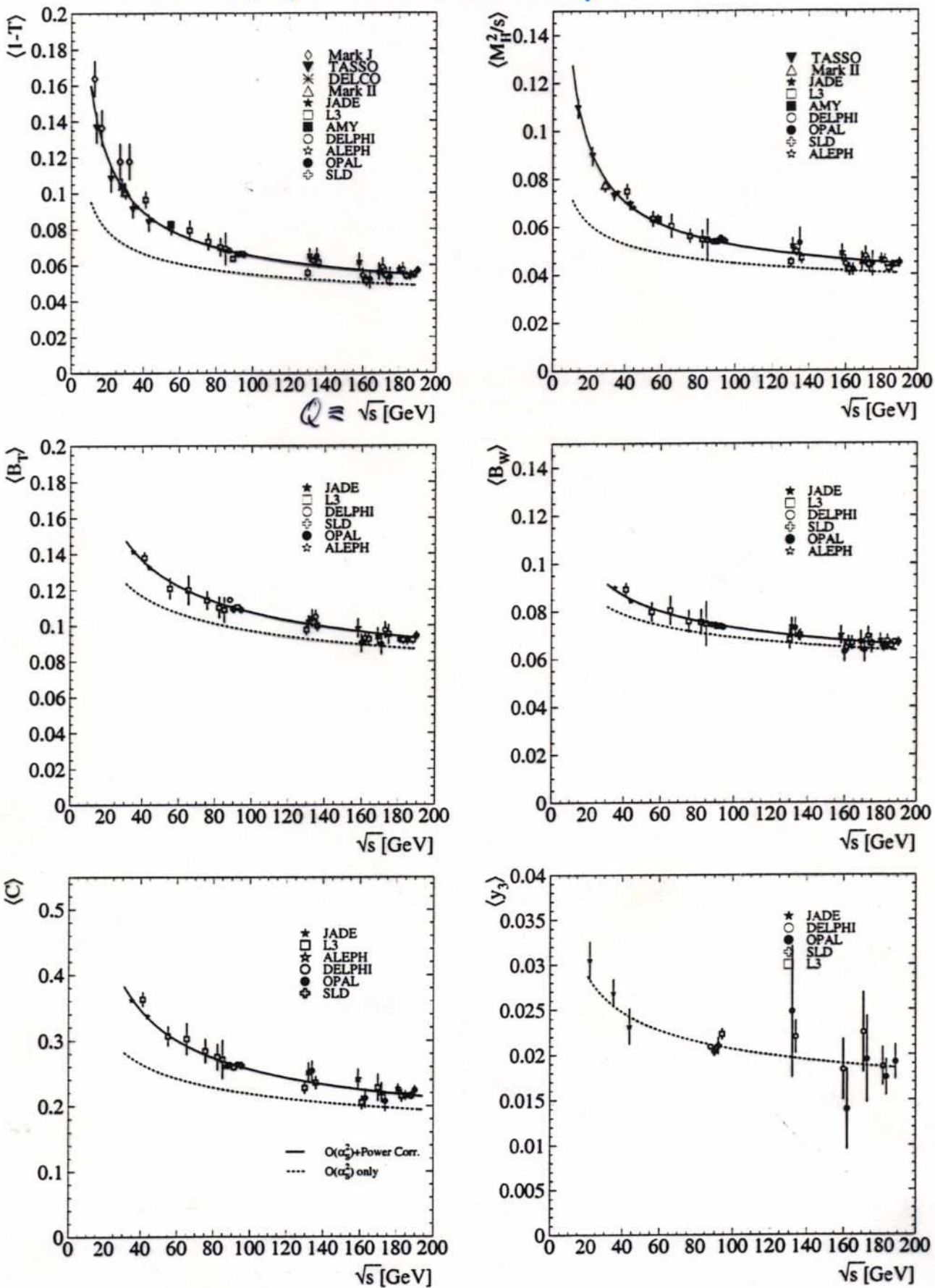
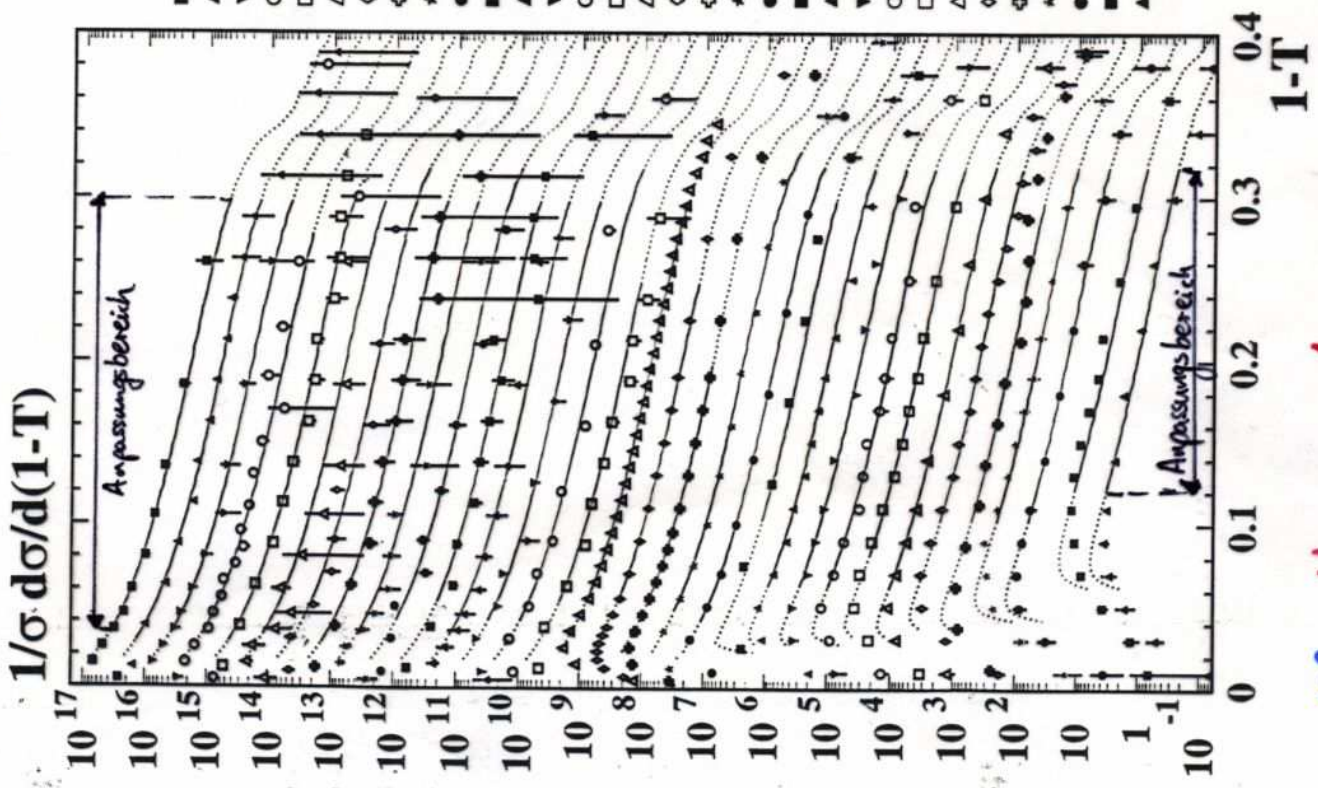


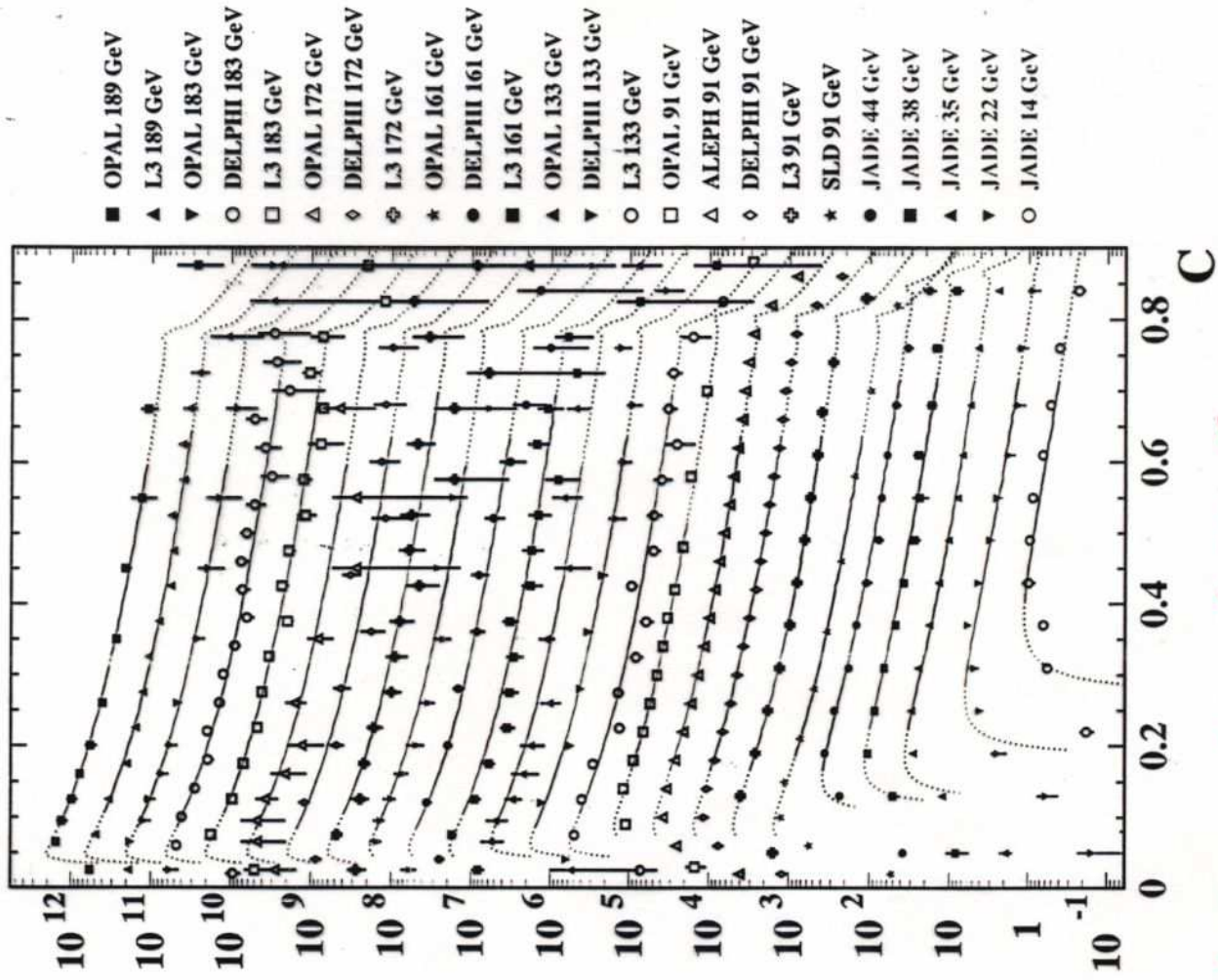
Abbildung 7.13: Momente der Topologievariablen $\langle 1 - T \rangle$, $\langle M_H^2 \rangle$, $\langle B_T \rangle$, $\langle B_W \rangle$, $\langle C \rangle$ und $\langle y_{23} \rangle$ als Funktion der Schwerpunktsenergie \sqrt{s} . Die durchgezogenen Kurven sind das Ergebnis einer Anpassung [92, 159] von $\mathcal{O}(\alpha_S^2)$ -Rechnungen kombiniert mit Potenzkorrekturen des DMW-Modells. Die gestrichelten Linien geben den rein perturbativen Beitrag wieder.

NB: Nur zwei Anpassungsparameter: $\alpha_0(\mu_I)$ und $\alpha_S(M_Z^2)$!

Energiepotenzialkoeffizienten f. Verteilungen



$1/\sigma \frac{d\sigma}{dC}$



NB: Nur zwei Anpassungsparameter : $d_o(\mu_I)$ und $d_s(\mu_z^2)$!

C

Test der Energiefehlerkorrekturen

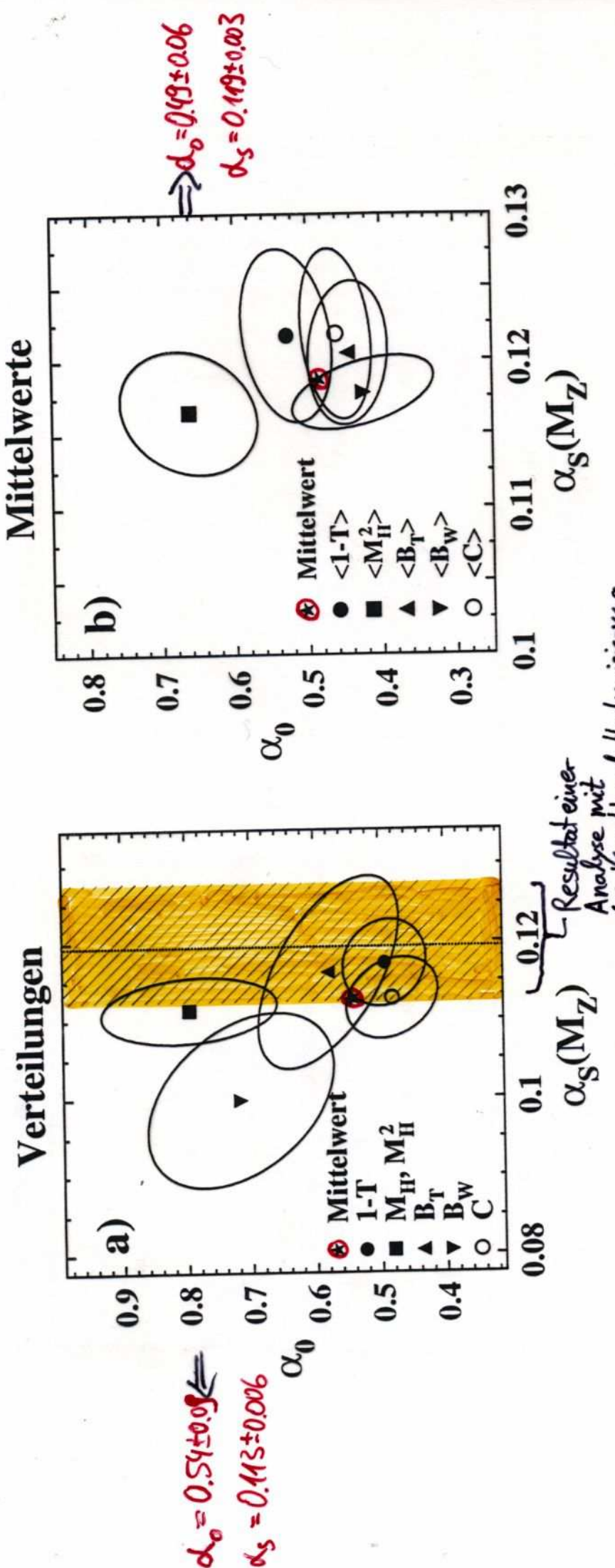
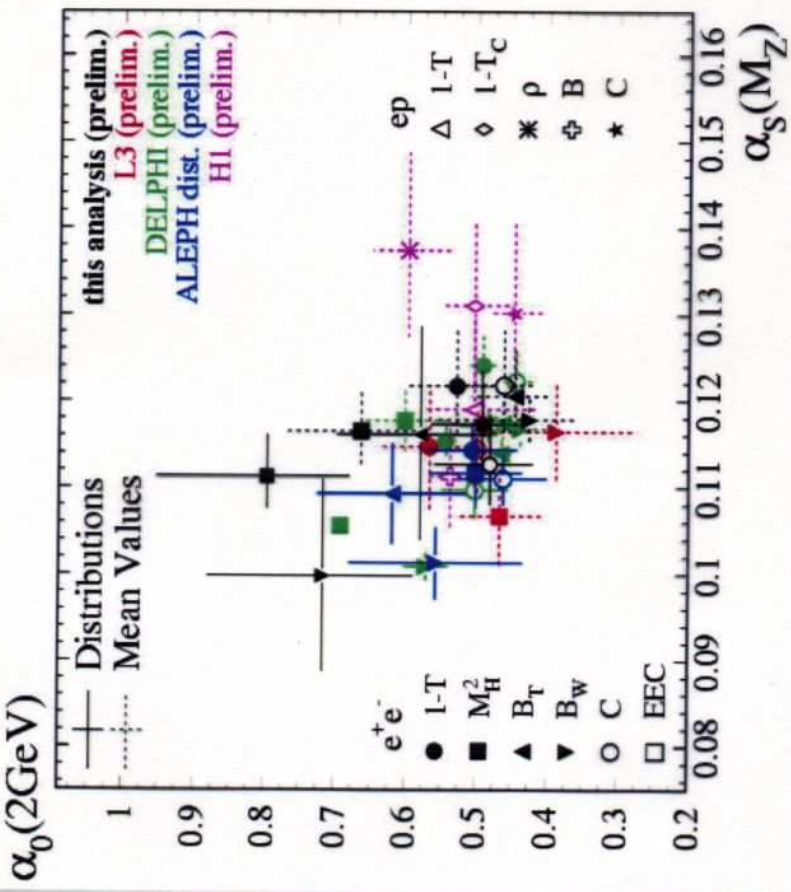


Abbildung 7.12: Ergebnisse für $\alpha_S(M_{Z^0})$ und $\alpha_0(2\text{ GeV})$ aus Anpassungen von perturbativen Vorfersagen kombiniert mit Potenzkorrekturen des DMW-Modells a) an die differenziellen Verteilungen (diese Arbeit) und b) an die Mittelwerte [92, 159] von $1 - T$, M_H oder M_H^2 , B_T , B_W und C . Die Fehlerellipsen entsprechen einem Konfidenzniveau der Messungen von 38%. Zum Vergleich ist in a) das kombinierte $\alpha_S(M_{Z^0})$ -Ergebnis der „konventionellen“ Analyse aus Kapitel 6 als senkrechte Linie (Zentralwert) und schraffiertes Band (Gesamtfehler) dargestellt.

Conclusion (II)



- universality of α_0 confirmed within 20% confidence level

- SU(3) structure of QCD confirmed

$$\alpha_s(M_Z^\circ) = 0.1175^{+0.0031}_{-0.0021}$$

$$\alpha_0(2\text{GeV}) = 0.503^{+0.066}_{-0.045}$$

- measurement of α_s with $\sigma_L / \sigma_{\text{tot}}$
- energy dependence of $\ln(1/x)$ spectra